

# Projeto Computacional

Clara Pereira (99405)  
Marta Sereno (99432)  
Samuel Pearson (99441)

## Conteúdo

<b>Exercício 1</b>	<b>2</b>
1. a) . . . . .	2
1. b) . . . . .	2
1. c) . . . . .	2
<b>Exercício 2</b>	<b>4</b>
2. a) . . . . .	4
2. b) . . . . .	5
2. c) . . . . .	6
2. d) . . . . .	7
<b>Exercício 3</b>	<b>8</b>
3. a) . . . . .	8
3. b) . . . . .	9

## Exercício 1

### 1. a)

Para a resolução desta alínea, foram criadas três funções **divdif**, **Hermite**, **graficoh**. A função **divdif** calcula as diferenças divididas de uma dada função num dado vetor de  $x$ , devolvendo uma matriz. A função **Hermite** recebe também uma função e um vetor e calcula o polinómio de Hermite através da fórmula de Newton. A função **graficoh** recebe dois naturais  $n$  e  $M$ , a função  $f$  e a sua derivada  $df$ , e devolve um gráfico onde estão representadas  $f$ ,  $df$ , e os respetivos polinómios de Hermite,  $h$  e  $dh$ , determinados com as funções anteriores. Na tentativa de escrever um programa genérico mas que nos facilitará mais tarde na representação da função enunciada, definimos que qualquer função  $f$  introduzida será sujeita a uma somatório, *symsum*, que por default toma  $M = 1$ . Foi necessário definir os vários valores que  $x_k = \frac{3k}{n}$  devem tomar, com  $k = 0, \dots, n$ , tendo sido definido o vetor *listax1*, que será utilizada como entrada de **Hermite**. Por fim, recorrendo a *fplot*, são representadas as quatro funções,  $f$  e  $df$  representadas a azul e  $h$  e  $dh$  representadas por pontos vermelhos e verdes, respetivamente. A determinação deste gráfico encontra-se no ficheiro **ex1a**, onde estão definidas as funções que se devem introduzir para valores de  $n$  e  $M$  à escolha.

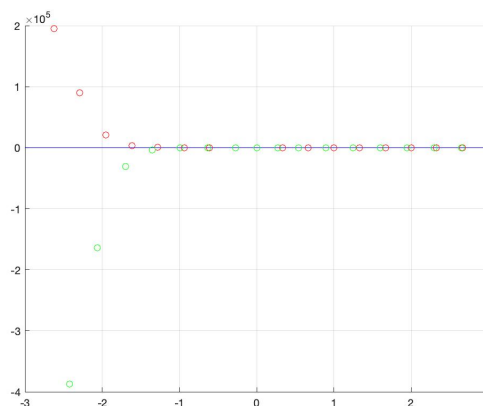
### 1. b)

Analogamente à alínea anterior, foi criada a função **b1** (cujo script tem o mesmo nome), que recebe as mesmas entradas que a função da alínea anterior, calculando o Spline Cúbico para  $f$  e apresentando o gráfico do spline em  $[0, 3]$  (colorido com várias cores, uma cor por cada intervalo  $[x_k, x_{k+1}]$ ) e de  $f$  a vermelho, para comparação.

A função faz também o display do erro absoluto máximo obtido.

### 1. c)

Apresentam-se os resultados da alínea a) para  $(n, M) = (10, 1)$ :

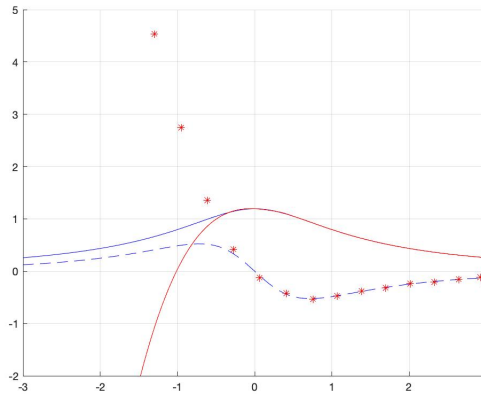


Note-se que correndo o programa para o intervalo  $[0, 3]$  vê-se melhor ambas as funções e verifica-se que a aproximação é melhor.

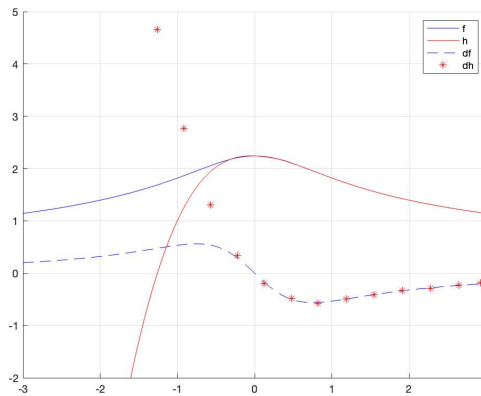
O programa implementado em **graficoh** não apresenta, em tempo útil, o gráfico para  $n$  elevado, logo, optámos por usar o programa **hermitegraf** definido através da função *pchip* do matlab, que determina o polinómio de Hermite. Então, para  $(n, M) = (10, 10)$  e  $(10, 1000)$  apresentamos os

seguintes resultados da alínea a). A determinação deste gráfico encontra-se no ficheiro **ex1c**, onde estão definidas as funções que se devem introduzir para os valores de  $n$  e  $M$ .

$$(n, M) = (10, 10):$$



$$(n, M) = (10, 1000):$$

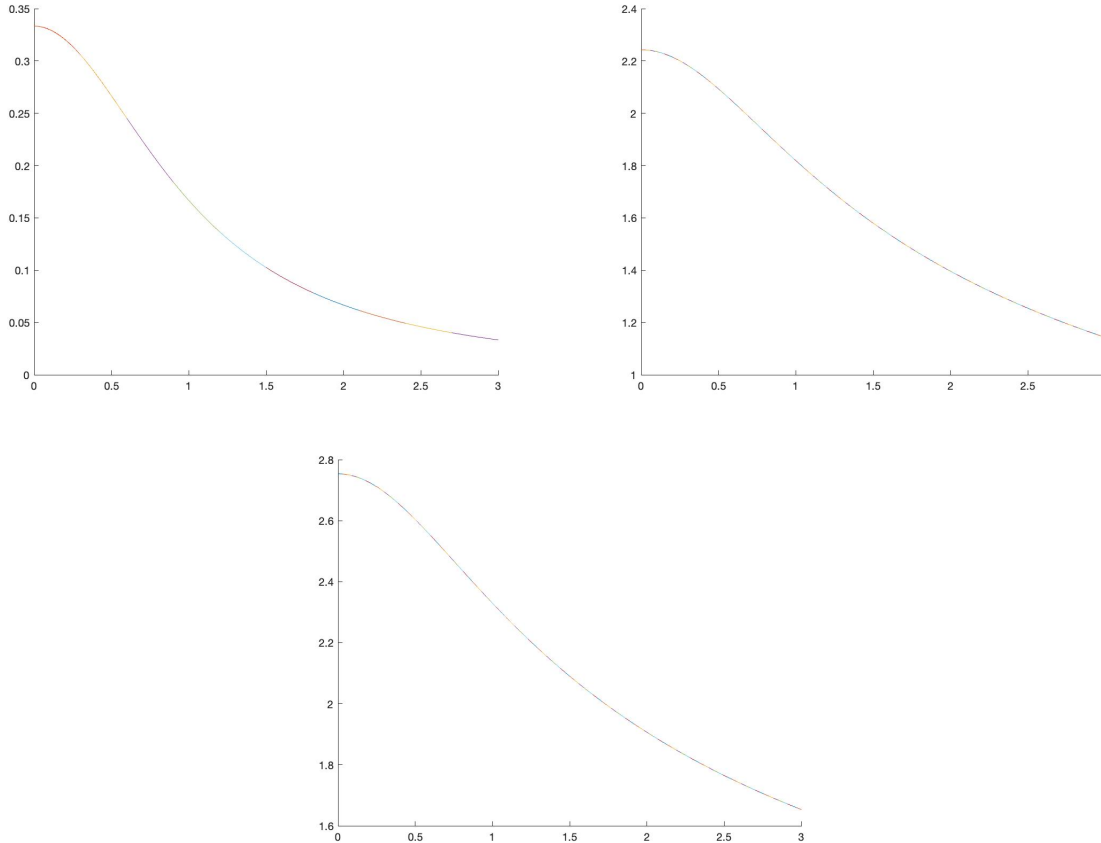


Na função **graficoh** definida para a alínea a), foram ainda calculados os erros absolutos dos polinómios de Hermite em comparação com as funções  $f$  e  $df$ . Não foi possível calcular o erro teórico associado devido à sua complexidade computacional.

Verificou-se que com o aumento de  $n$  o erro diminui mas  $M$  não tem uma influência significativa no erro. Para  $(10, 10)$  o erro foi 0.0084 e para  $(100, 10)$  foi 3.5636e-05. No entanto, para  $(10, 100)$  o erro foi semelhante ao de  $(10, 10)$ : 0.0078.

Como podemos observar pelos gráficos acima, no intervalo  $[-3, 0)$  os polinómios diferem das funções enunciadas, devido ao facto das funções *Matlab* definidas apenas interpolarem a função no intervalo  $[0, 3]$ .

Apresentam-se os resultados da alínea b) para alguns valores de  $n$  e  $M$  -  $(n, M) = (10, 1), (100, 1000), (10, 10^5)$ , (por ordem da esquerda para a direita e de cima para baixo) usando para  $f$  e  $df$  a função do enunciado e a sua derivada.



Os erros obtidos nos primeiros 2 casos foram, respetivamente,  $1.8801\text{e-}04$  e  $2.5716\text{e-}08$ .

Para  $(n, M) = (10, 100)$  e  $(10, 1000)$  os erros foram, em ambos os casos,  $2.8659\text{e-}04$ .

Isto leva-nos a concluir que o valor de  $n$  terá uma maior influência na qualidade da aproximação, sendo que um aumento de  $n$  num fator de 10 levou a uma diminuição do erro num fator de  $10^4$ . Por outro lado, a variação de  $M$  não teve uma influência significativa no erro obtido.

Infelizmente, para  $M = 10^6$ , o programa dava erro devido ao elevado tamanho da expressão simbólica de  $f$  e  $df$ .

É visualmente aparente que, em todos os casos, a aproximação obtida será muito próxima da função real, uma vez que não se consegue discernir o gráfico de  $f$  que está "por trás" do gráfico do spline.

## Exercício 2

### 2. a)

Para a resolução desta alínea, foi criada a função **Ex2a**, que recebe como argumentos  $N$  e  $E$ , e calcula o produto de convolução discreta  $\tilde{\mathbf{f}} * \mu^{[0]}$ , associado ao filtro  $\mu_E^{[0]}$ , em que  $\tilde{\mathbf{f}}$  corresponde ao vetor de dimensão  $N$  apresentado no enunciado. A função começa então por calcular o vetor  $\tilde{\mathbf{f}}$ , e, para cada  $k$ , calcula a componente  $k$  do vetor  $v$  resultante da convolução, que é dado por:

$$[v]_k = \frac{1}{2E+1} \sum_{j=k-E}^{k+E} \tilde{f}_j$$

É preciso então, para cada  $k$ , calcular os índices  $j$  intervenientes no somatório acima. Por fim, a função devolve o vetor  $v$ .

Testou-se então a função para alguns valores de  $N$  e  $E$ , que se apresentam na tabela abaixo:

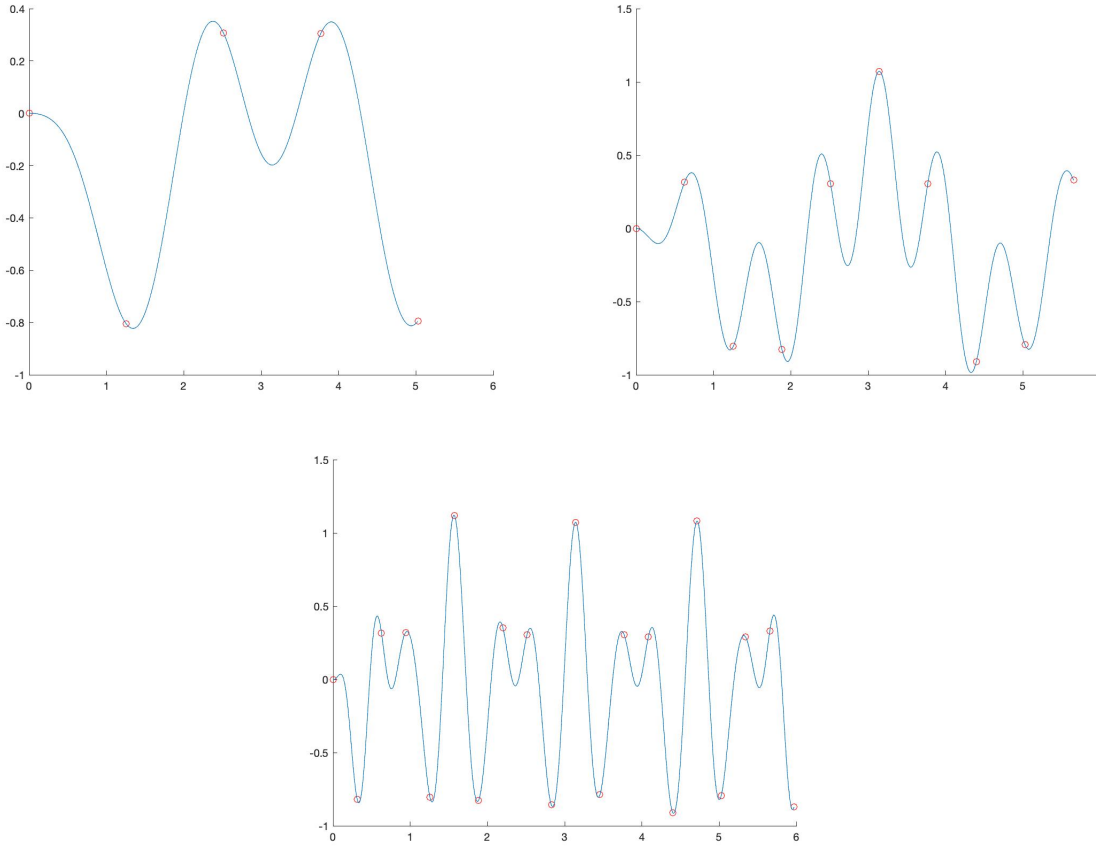
N	E	v
10	4	[-0.2309, -0.1457, -0.0108, -0.0235, -0.1483, -0.1118, -0.1470, -0.0223, -0.0200, -0.1458]
10	2	[-0.1909, -0.1972, -0.2017, 0.0128, 0.0104, -0.0103, -0.0040, 0.0005, -0.2140, -0.2116]
20	5	[0.0152, -0.1582, -0.0538, -0.0523, -0.1601, 0.0165, -0.0551, 0.0471, 0.0448, -0.0670, 0.1045, -0.0696, 0.0319, 0.0296, -0.0773, 0.0006, -0.1714, -0.0710, -0.0695, -0.1692]
20	2	[-0.2089, -0.2104, -0.1974, 0.0265, 0.0251, 0.0325, 0.0296, 0.0193, 0.0098, 0.0175, 0.0077, 0.0048, -0.0056, -0.0039, -0.0053, -0.0082, -0.0008, 0.0068, -0.2093, -0.2142]
50	10	[-0.1146, -0.0737, 0.0022, 0.0524, 0.0230, -0.0636, -0.0966, -0.0759, 0.0091, 0.0738, 0.0630, 0.0335, -0.0392, -0.0421, 0.0178, 0.0870, 0.0960, 0.0347, -0.0447, -0.0734, -0.0165, 0.0692, 0.0934, 0.0513, -0.0384, -0.0846, -0.0425, 0.0181, 0.0698, 0.0391, -0.0453, -0.1026, -0.0815, 0.0013, 0.0676, 0.0683, -0.0129, -0.0882, -0.0866, -0.0182, 0.0123, 0.0200, -0.0435, -0.1156, -0.1249, -0.0618, 0.0229, 0.0564, 0.0115, -0.0733]
50	5	[-0.1917, -0.1425, -0.0157, 0.0788, 0.0327, -0.0890, -0.0831, -0.0622, 0.0484, 0.1395, 0.0991, 0.0371, -0.0597, -0.0648, 0.0273, 0.1361, 0.1528, 0.0506, -0.0491, -0.1000, -0.0081, 0.1129, 0.1081, 0.0438, -0.0786, -0.1397, -0.0772, 0.0313, 0.1107, 0.0554, -0.0559, -0.1481, -0.1117, 0.0073, 0.0951, 0.0810, -0.0283, -0.1347, -0.1251, -0.0180, 0.1036, 0.1288, 0.0256, -0.0916, -0.1241, -0.1298, -0.0151, 0.0355, -0.0339, -0.1302]

## 2. b)

Para a alínea b) do exercício 2, criou-se, em primeiro lugar, a função auxiliar **fourierd**, que calcula a Transformada de Fourier Discreta de um vetor de pontos  $y$ . Para calcular a função interpoladora trigonométrica do vetor  $\tilde{f}$ , de dimensão  $N$ , recorreremos à sua Transformada de Fourier. Desta forma, a função interpoladora será dada por  $\phi(t) = \frac{1}{N} \mathcal{F}f \cdot u(t)$ , em que  $\mathcal{F}f$  corresponde à TFD do vetor  $\tilde{f}$ , e  $u(t) = 1, \exp i * t, \dots, \exp it(N - 1)$ .

Criou-se então a função **Ex2b**, que recebe  $N$ , a dimensão de  $\tilde{f}$ , e devolve a função que interpoladora esses pontos: começando por calcular o vetor  $\tilde{f}$ , e aplicando-lhe a função **fourierd**. De seguida calcula a lista de funções  $u(t)$ , e computa o polinómio final  $\phi(t)$ , pela fórmula apresentada acima. Uma vez que a função resultante é um somatório de exponenciais com  $N$  parcelas, o grupo achou relevante que a função devolvesse, para além da expressão do polinómio interpolador, também o seu gráfico entre os pontos interpolados, para ter uma perceção visual dos dados.

Em seguida apresentam-se os gráficos obtidos para  $N = 5, 10, 20$ .



## 2. c)

Para esta alínea, foi criada a função **fourierf**, que executa a Transformada Rápida de Fourier por um processo recursivo, descrito nos Apontamentos da Cadeira. É importante referir que este método apenas funciona se  $N = 2^M$ , para algum  $M \in \mathbb{N}$ . Para testar o tempo de execução, em segundos, de **fourierf** e compará-lo com o de **fourierd**, criou-se a função **Ex2c**, que recebe  $N$ , e devolve o tempo de execução destas duas funções para o vetor  $\tilde{\mathbf{f}}$ . Os resultados encontram-se na tabela seguinte.

N	$t(TFD)$	$t(FFT)$
$2^3$	0.0009	0.0017
$2^6$	0.0007	0.0018
$2^{10}$	0.0313	0.0090
$2^{15}$	16.3098	0.3370
$2^{16}$	83.5641	0.4738
$2^{17}$	366.9733	0.6635

Como resultado teórico, temos que o número de operações realizadas na Transformada Rápida é  $O(N \log_2(N))$ , enquanto que na Transformada Discreta o número de operações é  $O(N^2)$ . Adicionalmente, o método TFD realiza mais multiplicações, que são mais complexas do que somas. Assim, os resultados corroboram a teoria, uma vez que para  $N$  elevado a função **fourierf** é executada em muito menos tempo do que **fourierd**, o que seria de esperar, pois a quantidade e complexidade de operações envolvidas é muito menor.

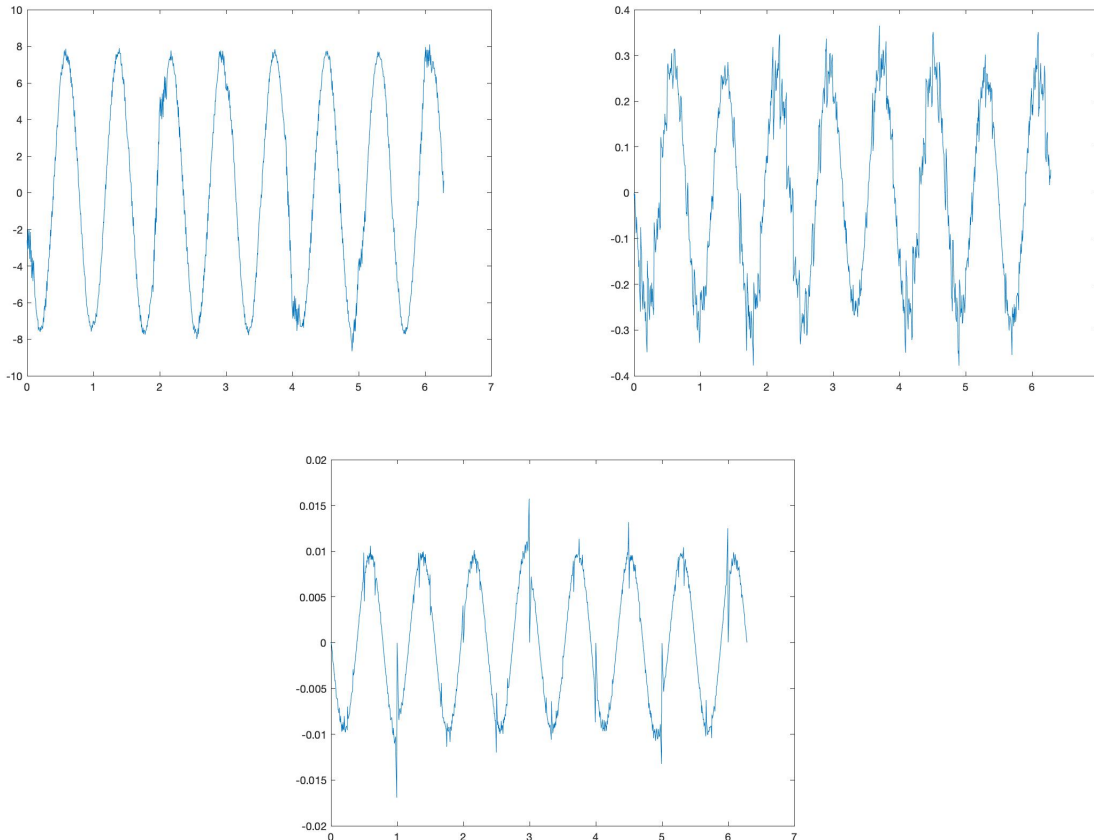
## 2. d)

Implementou-se para esta alínea a função **D2**, com o intuito de obter uma expressão para a aproximação da função  $f'$  (e produzir um gráfico). A função recebe apenas o input " $\epsilon$ " de modo a definir os extremos de integração para cada  $y$ , sendo  $n$  fixo com valor 20. Tendo em conta que

$$f'(y) \simeq \langle \mu_{\epsilon,y}^{[1]}, f' \rangle_{L^2(\mathbb{R})} = -\langle \mu_{\epsilon,y}^{[1]'}, f \rangle_{L^2(\mathbb{R})} = -\frac{1}{\epsilon^2} \left( \int_{y-\epsilon}^y f(t) dt - \int_y^{y+\epsilon} f(t) dt \right)$$

teremos então que aproximar os integrais da expressão, usando a Regra dos Trapézios Composta. O código encontra-se devidamente comentado no script *D2.m*.

Apresentam-se os gráficos obtidos para os inputs 0.1, 1 e 10 (da esquerda para a direita e de cima para baixo):



É de notar que quanto mais pequeno o input  $\epsilon$ , maior é a escala no gráfico obtido. Isto é de esperar, uma vez que, olhando para o gráfico, o valor da derivada da função interpoladora de  $f$  oscila bastante, tomando valores por vezes elevados.

Assim sendo, para  $\epsilon$  grande, a aproximação de  $f'$  ficará mais regular devido ao aumento do intervalo de integração e para  $\epsilon$  menor será à partida mais próxima do valor real.

Todavia, há que ter em atenção que a divisão por  $\epsilon^2$  no cálculo da aproximação da derivada pode originar problemas, pois para valores muito pequenos de  $\epsilon$  podemos obter valores astronómicos para  $f'$  em certos pontos.

### Exercício 3

#### 3. a)

O número mecanográfico escolhido foi 99432, com 4 dígitos diferentes:  $n_1 = 9, n_2 = 4, n_3 = 3, n_4 = 2$ . Assim sendo, foi necessário determinar uma fórmula para  $f''(z)$  com base nos valores  $f_k = f(z + (5 - n_k)h)$ .

Escrevendo cada  $f_k$  em termos do polinômio de Taylor de  $f$  centrado em  $z$  temos:

- $f_1 = f(z - 4h) = f(z) - f'(z) \cdot 4h + \frac{f''(z) \cdot (4h)^2}{2} - \frac{f'''(z) \cdot (4h)^3}{6} + \frac{f^{(4)}(\xi_1) \cdot (4h)^4}{24}, \xi_1 \in [z - 4h, z]$
- $f_2 = f(z + h) = f(z) + f'(z) \cdot h + \frac{f''(z) \cdot (h)^2}{2} + \frac{f'''(z) \cdot (h)^3}{6} + \frac{f^{(4)}(\xi_2) \cdot (h)^4}{24}, \xi_2 \in [z, z + h]$
- $f_3 = f(z + 2h) = f(z) + f'(z) \cdot 2h + \frac{f''(z) \cdot (2h)^2}{2} + \frac{f'''(z) \cdot (2h)^3}{6} + \frac{f^{(4)}(\xi_3) \cdot (2h)^4}{24}, \xi_3 \in [z, z + h]$
- $f_4 = f(z + 3h) = f(z) + f'(z) \cdot 3h + \frac{f''(z) \cdot (3h)^2}{2} + \frac{f'''(z) \cdot (3h)^3}{6} + \frac{f^{(4)}(\xi_4) \cdot (3h)^4}{24}, \xi_4 \in [z, z + 3h]$

Visto que queremos determinar  $f''(z)$ , podemos esperar encontrar coeficientes  $c_1, \dots, c_4$  tais que  $\sum_{k=1}^4 c_k \cdot f_k$  nos deixe com uma expressão sem termos de ordem 0, 1 ou 3, de modo a "isolar" (quase) os termos de ordem 2. (Note-se que para eliminarmos também os termos de ordem 4 teríamos um sistema linear homogêneo de 4 equações linearmente independentes e 4 incógnitas, cuja única solução seria  $(0, 0, 0, 0)$ ).

Obtemos assim um sistema de equações lineares:

$$\begin{cases} c_1 + c_2 + c_3 + c_4 = 0 \\ -4c_1 + c_2 + 2c_3 + 3c_4 = 0 \\ -64c_1 + c_2 + 8c_3 + 27c_4 = 0 \end{cases}$$

É simples verificar que a menor solução inteira deste sistema é  $(c_1, c_2, c_3, c_4) = (2, -7, 0, 5)$ .

Temos então:

$$\begin{aligned} \sum_{k=1}^4 c_k \cdot f_k &= 2 \cdot f(z - 4h) - 7 \cdot f(z + h) + 5 \cdot f(z + 3h) = \\ &= 35h^2 \cdot f''(z) + \frac{h^4}{4!} (512 \cdot f^{(4)}(\xi_1) - 7 \cdot f^{(4)}(\xi_2) + 405 \cdot f^{(4)}(\xi_4)) \end{aligned}$$

Obtém-se a expressão resultante:

$$f''(z) = \frac{2 \cdot f(z - 4h) - 7 \cdot f(z + h) + 5 \cdot f(z + 3h)}{35h^2} - \frac{h^2}{840} (512 \cdot f^{(4)}(\xi_1) - 7 \cdot f^{(4)}(\xi_2) + 405 \cdot f^{(4)}(\xi_4))$$

O termo com as derivadas de ordem 4 corresponde ao erro. O módulo do erro pode ser facilmente majorado por

$$\frac{h^2}{840} (|512 \cdot f^{(4)}(\xi)| + |-7 \cdot f^{(4)}(\xi)| + |405 \cdot f^{(4)}(\xi)|) = \frac{924h^2}{840} |f^{(4)}(\xi)|$$



onde  $|f^4(\xi)| = \max_{\eta \in [z-4h, z+3h]} |f^4(\eta)|$ .

Consideremos agora que os valores  $f_1, f_2, f_3, f_4$  estavam afetados de erros e que dispunhamos apenas dos respetivos valores aproximados  $\tilde{f}_0, \dots, \tilde{f}_4$ .

Teríamos então:

$$f''(z) = \frac{2\tilde{f}_1 - 7\tilde{f}_2 + 5\tilde{f}_4}{35h^2} - \frac{h^2}{840}(512 \cdot f^4(\xi_1) - 7 \cdot f^4(\xi_2) + 405 \cdot f^4(\xi_4)) + \frac{2\epsilon_1 - 7\epsilon_2 + 5\epsilon_4}{35h^2}$$

onde  $\epsilon_i = f_i - \tilde{f}_i$ . Assim:

$$|f''(z) - \frac{2\tilde{f}_1 - 7\tilde{f}_2 + 5\tilde{f}_4}{35h^2}| \leq \frac{924h^2}{840}|f^4(\xi)| + \frac{16\epsilon}{35h^2}$$

onde  $\epsilon = \max_{k=1,2,4} |\epsilon_k|$ .

Claramente,  $\frac{924h^2}{840}|f^4(\xi)| \rightarrow 0$  quando  $h \rightarrow 0$ .

No entanto, o mesmo não é necessariamente verdade para o termo  $\frac{16\epsilon}{35h^2}$ , sendo necessário que  $\epsilon$  acompanhe o decrescimento de  $h^2$ , isto é, que  $\epsilon = \mathcal{O}(h^2)$ , para que a aproximação não perca a eficácia.

### 3. b)

Para aplicar a fórmula deduzida na alínea anterior, impementou-se a função **Ex3b** (com o mesmo nome do script em que se encontra), que recebe como argumentos  $h$  e  $b$ . Se o input  $b$  for igual a 1, a função  $f$  a considerar é a sugerida no enunciado. Caso contrário, será a função escolhida pelo grupo,  $f(x) = \frac{\sin(x^4)}{x}$ .

A função **Ex3b** calculará então os valores de  $f''(z)$  (com  $z = kh \in [0, 1 + \frac{3}{10}]$ ) pelo método da alínea a) (usando a função *aprox*) e pela própria função do Matlab dada pela respetiva expressão, ficando estes valores guardados nas listas *f2vals* e *f2real\_vals*, respetivamente.

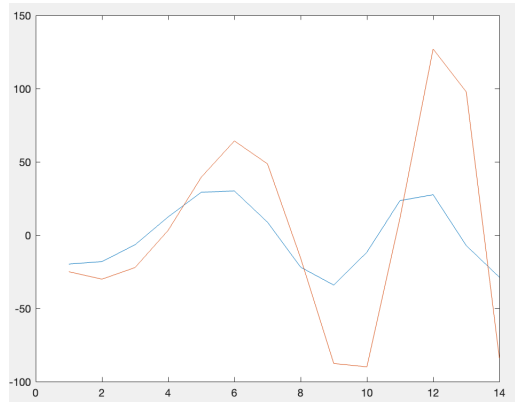
De seguida, cria-se a lista *erro\_abs*, correspondendo ao módulo da diferença entre os valores de  $f''(z)$ , para cada  $z$ , obtidos com cada método.

Dado  $z$ , a função *aux* calcula  $\frac{924h^2}{840}|f^4(\xi)|$  com  $\xi$  sendo um ponto maximizante de  $|f^4(x)|$  em  $[z - 4h, z + 3h]$ , sendo o intervalo discretizado de forma suficientemente fina, e não contínuo.

Com o auxílio desta função, cria-se a lista *majorante\_erro* que contém os majorantes dos erros obtidos no cálculo de  $f''(z)$  para cada  $z \in [0, 1 + \frac{3}{10}]$ .

Testou-se em primeiro lugar a função  $f(x) = \cos(3x^2 + 5x)$  para diferentes valores de  $h$ , tendo-se obtido os seguintes resultados:

**h=0.1** (os comandos executados foram `[a,b,c,d]=Ex3b(0.1,1)`; seguido de `hold on`; `plot(a,'b')`; `plot(b,'r')`;; de modo a obter um gráfico dos valores de *f2vals* a azul e *f2real\_vals* a vermelho) :



Claramente que  $h = 0.1$  não é suficientemente pequeno para obtermos uma boa estimativa de  $f''(z)$ .

Para os seguintes valores de  $h$  apresentamos numa tabela apenas os valores  $\max(\text{erro\_abs})$  e  $\max(\text{majorante\_erro})$ , para ambas as funções:

h	b	$\max(\text{erro\_abs})$	$\max(\text{majorante\_erro})$
0.01	1	2.2293	2.2783
0.01	0	0.6896	0.7383
0.001	1	0.0224	0.0228
0.001	0	0.0070	0.0072
0.0001	1	2.2439e-04	2.2783e-04
0.0001	0	6.9753e-05	7.0903e-05

Após a observação destes dados, pode-se verificar que quando se divide  $h$  por 10, o erro absoluto diminui por um fator de aproximadamente  $10^2$ , pelo que a convergência é de ordem  $\mathcal{O}(h^2)$ .

O máximo do erro absoluto ( e do majorante) manteve-se aproximadamente 10 vezes menor para a função escolhida pelo grupo do que para a função sugerida.

Pode-se também aferir que o majorante de erro parece ser uma boa aproximação do erro real para estas duas funções.